

СВЕРХПРОВОДИМОСТЬ КВАЗИПЕРИОДИЧЕСКИХ СЛОИСТЫХ СТРУКТУР

А.Ю.Китаев, Л.С.Левитов

Показано, что критическое поведение термодинамических величин в точке сверхпроводящего перехода в квазипериодических слоистых структурах отличается от обычного. В приближении Гинзбурга – Ландау вычислены критические индексы.

1. Недавно была обнаружена необычная температурная зависимость верхнего критического поля H_{c2} в системе SNSNS... слоев из V и Mo¹. Толщина слоев нормального металла d была постоянной, а сверхпроводящие слои были двух разных толщин d_A и d_B , чередовавшихся по закону Фибоначчи ABAABABAAB... . Вблизи точки перехода в нулевом поле была обнаружена нелинейная зависимость H_{c2} от τ ($\tau = (T_c - T)/T_c$), причем измерения длины когерентности ξ_0 показали, что $d \ll \xi_0$ (сильная связь). Если изобразить результаты¹ в логарифмическом масштабе, то получится прямая с наклоном 0,74. Этот критический индекс находится между 1,0 (периодическая система сильно связанных слоев) и 0,5 (отдельный слой) (см. рис. 1).

Поскольку размер зародыша сверхпроводящей фазы в слабом поле много больше постоянной решетки, причиной появления аномального критического индекса является квазипериодичность структуры. Другие термодинамические величины: параметр порядка Δ , теплоемкость C , корреляционная длина ξ , лондоновская длина λ и нижнее критическое поле H_{c1} также должны иметь степенную зависимость от τ с необычными показателями степени.

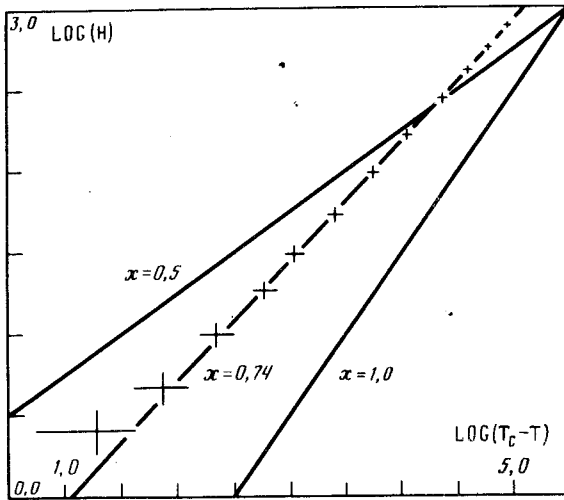


Рис. 1. Данные¹ в логарифмическом масштабе. Наклон x соответствует показателю степени в законе $H_{c2} \sim \tau^x$

2. Мы рассмотрим задачу о вычислении критических индексов в приближении Гинзбурга – Ландау. Будем считать, что слоистая структура описывается кусочно постоянной функцией $U(x)$, принимающей постоянные значения U_S и $-U_N$ внутри каждого слоя ($U_S > 0, U_N > 0$ – эффект близости). Функционал ГЛ имеет обычный вид:

$$F(\Delta(x)) = \left[\frac{1}{2} \left| \vec{\nabla} \Delta \right|^2 + U(x) \left| \Delta \right|^2 \right] - \tau \left| \Delta \right|^2 + \left| \Delta \right|^4 \quad (1)$$

(магнитное поле H включено в градиентный член). Вблизи точки перехода $H, |\Delta|$ и τ малы и, поэтому, параметр порядка является линейной комбинацией собственных функций нижней части спектра оператора в квадратных скобках. Свойства операторов такого типа были подробно изучены в², где было показано, что все края разрешенных зон являются скейлинговыми точками спектра. Это означает, что если выбрать начало отсчета энергии на нижнем

краю спектра, то доля состояний с энергией меньше ϵ будет связана с ϵ так:

$$\epsilon = n^{2\gamma} F(\log_{\Phi} n), \quad \Phi = \left(\frac{1}{2} (\sqrt{5} + 1) \right)^2. \quad (2)$$

Здесь Φ – квадрат золотого сечения, F – ограниченная периодическая функция периода 1. Индекс γ не универсален, а является функцией инварианта J :

$$\gamma = \frac{1}{2} \log_{\Phi} \left[\frac{1}{2} \left((8t - 1) + ((8t - 1)^2 - 4)^{1/2} \right) \right], \quad 4t^2 - 3t = J. \quad (3)$$

Для нашей модели инвариант дается таким выражением:

$$J = 1 + \frac{(U_S + U_N)^2}{4U_S U_N} \text{sh}^2(\kappa d) \sin^2(k(d_A - d_B)), \quad k = \frac{(2U_S)^{1/2}}{\xi_0}, \quad \kappa = \frac{(2U_N)^{1/2}}{\xi_0}. \quad (4)$$

Другой важной для нас величиной является критический индекс собственной функции с минимальной энергией:

$$\delta = \lim_{L \rightarrow \infty} \log_L \left[\frac{\left(\int_0^L \psi^2 \right)^2}{\left(\int_0^L \psi^4 \right)} \right]. \quad (5)$$

При изменении J от 1 до ∞ , δ меняется от 1 до $(\log_2 \Phi)^{-1} = 0,72 \dots$. Индекс δ можно вычислить так. В ² показано, что дну зоны соответствует последовательность трансфер-матриц вида $A, B, S^{-1}AS, S^{-1}BS, S^{-2}AS^2, \dots$ (последовательность следов имеет период 2). Матрицы A, B и S удовлетворяют уравнениям $AB = S^{-1}AS, BS^{-1}AS = S^{-1}BS$ и условию $\text{tr}(ABA^{-1}B^{-1}) = 2J$. Решение этих уравнений дает A, B и S как функции J . Теперь нужно определить вектор действия на который, трансфер-матрицы дают значения волновой функции. Чтобы волновая функция не росла слишком быстро, нужно взять собственный вектор матрицы S , отвечающий собственному значению, модуль которого меньше единицы (см. рис. 2).

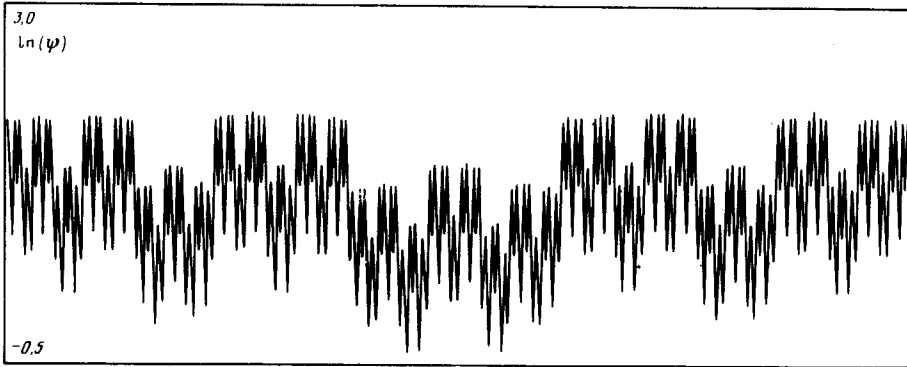


Рис. 2. Волновая функция ψ основного состояния на узлах $0, \dots, 377$ при $J = 10$. Функция ψ , представляющая собой иерархию молекул ², имеет осцилляции всех масштабов

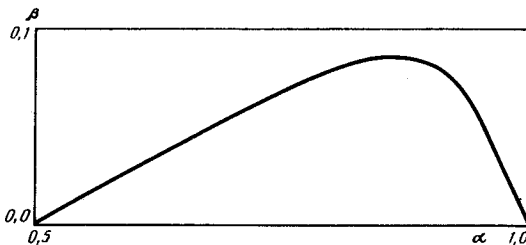


Рис. 3. Зависимость индекса β теплоемкости от индекса α верхнего критического поля

3. Вычислим теперь критические индексы. Начнем с поля H_{c2} и рассмотрим зародыш размера L . Плотность энергии есть сумма "кинетического" и диамагнитного членов $L^{-2\gamma} + H^2 L^2$. Минимизируя по L и приравнявая к τ , находим оптимальный размер зародыша и поле H_{c2} :

$$L \sim H^{-\frac{1}{\gamma+1}}, \quad H_{c2} \sim \tau^\alpha, \quad \alpha = \frac{\gamma+1}{2\gamma}. \quad (6)$$

Индекс α меняется от 1 до 0,5, когда J меняется от 1 до ∞ .

Определим теперь температурную зависимость модуля параметра порядка Δ . Из-за сильной неоднородности волновой функции основного состояния ($\delta < 1$) нельзя просто заменить $\langle \Delta^4 \rangle$ на $\langle \Delta^2 \rangle^2$. Вместо этого следует использовать соотношение $\langle \Delta^4 \rangle \sim L^{1-\delta} \langle \Delta^2 \rangle^2$ (L — величина области, по которой производится усреднение), верное при $L \lesssim \xi$ (ξ — корреляционная длина). Зависимость ξ от τ дается соотношением $\xi^{-2\gamma} \sim \tau$. Заменяя $\langle \Delta^4 \rangle$ на $\xi^{1-\delta} \langle \Delta^2 \rangle^2$ в (1), получаем, что $\langle \Delta^2 \rangle$ дает минимум выражению $-\tau \langle \Delta^2 \rangle + \xi^{1-\delta} \langle \Delta^2 \rangle^2$. Находим Δ^2 и теплоемкость:

$$\langle \Delta^2 \rangle \sim \tau^{\beta+1}, \quad \beta = \frac{1-\delta}{2\gamma}, \quad c \sim \tau^\beta. \quad (7)$$

Зная индекс $\langle \Delta^2 \rangle$, можно определить индекс лондоновской глубины и найти величину κ параметра Гинзбурга — Ландау:

$$\begin{aligned} \lambda^2 &\sim \tau^{-1-\beta} \\ \xi_{\perp} &\sim \tau^{-\frac{1}{2\gamma}} \quad \text{— перпендикулярно слоям} \\ \xi_{\parallel} &\sim \tau^{-1/2} \quad \text{— параллельно слоям} \end{aligned} \quad (8)$$

$$\begin{aligned} \kappa_{\perp} &= \frac{\lambda}{\xi_{\perp}} \sim \tau^{\mu}, \quad \mu = \frac{1+\delta}{4\gamma} - \frac{1}{2}, \quad \mu \leq 0 \\ \kappa_{\parallel} &= \frac{\lambda}{\xi_{\parallel}} \sim \tau^{\nu}, \quad \nu = \frac{\delta-1}{4\gamma}, \quad \nu \leq 0. \end{aligned}$$

Получаем два параметра ГЛ: продольный κ_{\parallel} и поперечный κ_{\perp} , причем оба растут при приближении к T_c . Видим, что независимо от материалов, из которых сделаны слои, вблизи T_c осуществляется сверхпроводимость второго рода.

Таким образом, хотя критическое поведение не универсально, критические индексы зависят лишь от одного параметра J и можно проверить экспериментально соотношения между ними (см. рис. 3)

4. Важно отметить отличие обсуждающегося скейлинга от того, который обычно имеется в точке перехода второго рода. В нашем случае скейлинг имеется лишь при увеличении масштаба в Φ раз, что приводит к более сложным, чем степенные, зависимостям². Так для поля H_{c2} будет

$$H_{c2} = \tau^\alpha G(\log_{\Phi} \xi), \quad \xi = \tau^{-\frac{1}{2\gamma}}. \quad (9)$$

Функция G — ограниченная периодическая периода 1. Такую же поправку имеют скейлинговые зависимости остальных термодинамических величин.

В заключение отметим, что уравнение ГЛ не применимо к ситуации¹, так как $\xi_0 \geq d_A, d_B$. Поэтому наши результаты носят лишь качественный характер и критические индексы должны вычисляться из микроскопической теории сверхпроводимости. С другой стороны, наш подход применим для описания эксперимента³, в котором также изучалось поле H_{c2} для квазипериодической сетки тонких сверхпроводящих проводников, причем отклонения от обычной зависимости $H_{c2} \sim \tau$ обнаружено не было. Для данных³ находим $J = 1,118 \dots$ и $\alpha = 0,986 \dots$, т. е. действительно очень близко к линейной зависимости.

Авторы благодарны П.Калугину, В.Л.Покровскому, Ж.Ринеру и Г.М.Элиашбергу за многочисленные полезные обсуждения.

Литература

1. *Karkut M.G., Trisconi J.M., Ariosa D., Fischer Ø.* University of Geneva, Preprint, 1986.
2. *Калугин П.А., Китаев А.Ю., Левитов Л.С.* Черноголовка 1985 препринт, ЖЭТФ, 1986, 8, 692.
3. *Behrooz A. et al.* Phys. Rev. Lett., 1986, 57, 368.

Институт теоретической физики им. Л.Д.Ландау
Академии наук СССР

Поступила в редакцию
20 ноября 1986 г.
